

## Conduction électrique sous champ magnétique

### Première partie Sonde à effet HALL

#### 1.1. Vecteur courant $\vec{j}$

$$\vec{j} = j \vec{u}_x \quad \text{et} \quad I_o = \int \vec{j} \cdot d\vec{S} = j ab \quad \Rightarrow \quad \boxed{\vec{j} = \frac{I_o}{ab} \vec{u}_x}$$

#### 1.2. Charge $q$ animée d'une vitesse $\vec{v} = v \vec{u}_x$

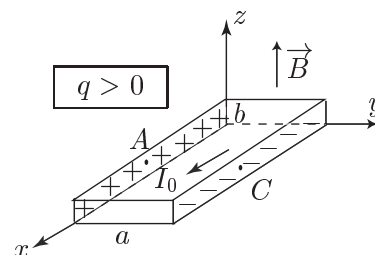
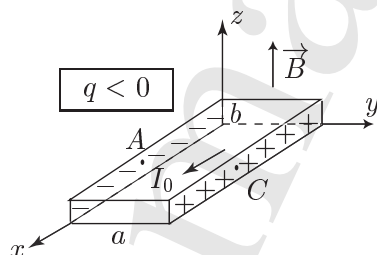
##### 1.2.1. Force de LORENTZ

$$\vec{f}_L = q \vec{v} \wedge \vec{B} \quad \Rightarrow \quad \boxed{\vec{f}_L = -qvB \vec{u}_y}$$

1.2.2. En absence du champ magnétostatique  $\vec{B}$ , un porteur mobile de charge  $q$  est soumis à la seule force électrostatique  $\vec{f}_e = q \vec{E}$  qui est à l'origine du courant électrique  $I_o$ .

En présence du champ magnétostatique  $\vec{B} = B \vec{u}_z$ , un porteur mobile de charge  $q$  est soumis à la force magnétique  $\vec{f}_L = -qvB \vec{u}_y$  ( $q$  et  $v$  étant du même signe Cf. 1.2) qui infléchit sa trajectoire vers la face de la plaque :

- ◇ située à droite du sens de  $I_o$  pour  $q < 0 \Rightarrow$  accumulation de charges négatives sur cette face et défaut de charges sur la face opposée.
- ◇ située à gauche du sens de  $I_o$  pour  $q > 0 \Rightarrow$  accumulation de charges négatives sur cette face et défaut de charges sur la face opposée.



**1.2.3. Champ HALL**

On en déduit du résultat de la question précédente **1.2.2** les faits suivants :

- ◇ Apparition d'un champ électrostatique (champ HALL noté  $\vec{E}_H$ ) orienté vers la face située à droite du sens de  $I_0$  (pour  $q < 0$ ) ou vers la face située à gauche du sens de  $I_0$  (pour  $q > 0$ ). Dans les deux cas, un porteur de charge  $q$  est soumis à l'action de la force  $\vec{f}_H = q\vec{E}_H$  (de direction l'axe  $Oy$ ).
- ◇ Le régime permanent (au bout d'un certain temps) est atteint lorsque le champ HALL atteint une valeur suffisante pour que  $\vec{f}_H + \vec{f}_L = \vec{0}$  ; les lignes de courant redeviennent parallèles au champ  $\vec{E}_H$ , d'où :

$$\vec{f}_L = -q\vec{E}_h \Rightarrow \boxed{\vec{E}_h = -\frac{\vec{f}_L}{q} = vB\vec{u}_y}$$

**1.2.4. Tension HALL**

$$V_C - V_A = \int \vec{E}_h \cdot d\vec{y} = vBa \Rightarrow \boxed{V_h = vaB}$$

La tension de HALL est positive et indépendante de la charge  $q$ .

**1.2.5. Résistance de HALL**

$$I_o = j ab \quad \text{et} \quad j = nqv \Rightarrow \boxed{V_h = \frac{BI_o}{nqb} = R_h \frac{BI_o}{b}}$$

**1.3. Applications****1.3.1. La plaque  $\mathcal{P}$  est en cuivre métallique****1.3.1.1. Densité particulaire**

$$\boxed{n = \frac{mN_A}{MV} = \rho \frac{N_A}{M} = 82,40 \times 10^{27} \text{ m}^{-3}}$$

**1.3.1.2. Résistance HALL**

$$\boxed{R_h = \frac{1}{nq} = -0,76 \times 10^{-10} \text{ m}^3 \text{ A}^{-1} \text{ s}^{-1}}$$

**1.3.1.3. Tension HALL**

$$\boxed{V_h = -0,76 \times 10^{-6} \text{ kg m}^2 \text{ A}^{-1} \text{ s}^{-3}}$$

**1.3.2. Les sondes de HALL utilisées au laboratoire pour mesurer les champs magnétiques sont constituées d'un matériau semi-conducteur.**

**1.3.2.1. Dans un semi-conducteur et à température usuelle, la densité particulaire des porteurs majoritaires (électrons ou positrons "trous") est de l'ordre de  $10^{22} \text{ m}^{-3}$  : plus faible que dans un conducteur, donc l'effet HALL est plus important.**

1.3.2.2. Dans la pratique, on mesure une tension (tension HALL). Cette dernière étant proportionnelle au champ  $B$ , simple étalonnage (détermination du coefficient de proportionnalité) permet, donc, l'accès à  $B$ . exemple : utilisation en teslamètre, appelé aussi sonde à effet HALL.

## Deuxième partie loi d'OHM anisotrope

2.1.  $\tau$  est homogène à un temps ; son unité est, donc, la seconde (s).

2.2.

$$\vec{j} = nq\vec{v}$$

2.3. Deuxième loi de NEWTON

$$m\vec{a} = m\frac{d\vec{v}}{dt} = q\left(\vec{E} + \vec{v} \wedge \vec{B}\right) - \frac{m}{\tau}\vec{v} \quad \text{et} \quad \vec{v} = \frac{1}{nq}\vec{j}$$

En régime permanent :

$$q\left(\vec{E} + \vec{v} \wedge \vec{B}\right) - \frac{m}{\tau}\vec{v} = q\left(\vec{E} + \frac{1}{nq}\vec{j} \wedge \vec{B}\right) - \frac{m}{nq\tau}\vec{j} = 0$$

$$\text{ou :} \quad \vec{E} = \frac{m}{nq^2\tau}\vec{j} + \frac{1}{nq}\vec{B} \wedge \vec{j}$$

$$\text{soit :} \quad \boxed{\vec{E} = \frac{1}{\sigma}\vec{j} + R_h\vec{B} \wedge \vec{j}} \quad (2) \quad \text{avec} \quad \boxed{\sigma = n\frac{q^2\tau}{m} \quad \text{et} \quad R_h = \frac{1}{nq}}$$

2.4. L'axe  $Oz$  est choisi tel que  $\vec{B} = B\vec{u}_z$

2.4.1. Projection de l'équation vectorielle (2)

$$\begin{pmatrix} E_x \\ E_y \\ E_z \end{pmatrix} = \frac{1}{\sigma} \begin{pmatrix} j_x \\ j_y \\ j_z \end{pmatrix} + R_h \begin{pmatrix} 0 \\ 0 \\ B \end{pmatrix} \wedge \begin{pmatrix} j_x \\ j_y \\ j_z \end{pmatrix} = \begin{pmatrix} \frac{j_x}{\sigma} - R_h B j_y \\ \frac{j_y}{\sigma} + R_h B j_x \\ \frac{j_z}{\sigma} \end{pmatrix}$$

$$\text{Soient :} \quad \begin{cases} j_x = \frac{\sigma E_y - \sigma^2 R_h B E_x}{1 + \sigma^2 R_h^2 B^2} \\ j_y = \frac{\sigma E_x + \sigma^2 R_h B E_y}{1 + \sigma^2 R_h^2 B^2} \\ j_z = \sigma E_z \end{cases} \quad \text{ou :} \quad \boxed{\begin{cases} j_x = \frac{\sigma}{1 + \tau^2 \omega_c^2} (E_y - \tau \omega_c E_x) \\ j_y = \frac{\sigma}{1 + \tau^2 \omega_c^2} (E_x + \tau \omega_c E_y) \\ j_z = \sigma E_z \end{cases}}$$

2.4.2.  $\vec{j} = j_x \vec{u}_x + j_y \vec{u}_y + j_z \vec{u}_z$

D'où :  $\vec{j} = \vec{\sigma} \vec{E}$  avec :

$$\boxed{\vec{\sigma} = \frac{\sigma}{1 + \tau^2 \omega_c^2} \begin{pmatrix} 1 & \tau \omega_c & 0 \\ -\tau \omega_c & 1 & 0 \\ 0 & 0 & 1 + \tau^2 \omega_c^2 \end{pmatrix}} \quad (3)$$

2.4.3. les vecteurs  $\vec{j}$  et  $\vec{E}$  ne sont pas collinéaires  $\Rightarrow$  le milieu est anisotrope.

2.4.4. Oui, le milieu reste linéaire en présence du champ magnétique  $\vec{B}$ .

2.4.5. En absence du champ magnétique  $\vec{B}$ , l'équation (3) s'écrit :

$$\vec{j} = \sigma \vec{E}$$

On retrouve, ainsi, la loi d'ohm pur un milieu isotrope.

**Conclusion :** les phénomènes liés à l'anisotropie précédente (Cf. 2.4.3) sont plus importants dans les semi-conducteurs et ils dépendent de la géométrie du système étudié !!

### Troisième partie Effet CORBINO

3.1. Cas d'un champ magnétique  $B = 0$

3.1.1. Le conducteur compris entre les deux cylindres n'est pas en équilibre électrostatique.

3.1.2. En  $M$  le champ  $\vec{E} = \vec{E}(r, \theta, z)$

Invariance :

$C_a$  et  $C_b$  sont supposés suffisamment longs, la distribution entre les deux cylindres est, donc, invariante par translation le long de l'axe  $Oz \Rightarrow E$  indépendant de la coordonnée axiale  $z$ .

$$\vec{E} = \vec{E}(r, \theta)$$

la distribution entre les deux cylindres est invariante par rotation autour de l'axe  $Oz \Rightarrow \vec{E}$  indépendant de la coordonnée orthoradiale  $\theta$ .

$$\vec{E} = \vec{E}(r)$$

Symétrie :

Le plan  $(\vec{u}_r, \vec{u}_z)$  est un plan de symétrie pour la distribution entre les deux cylindres  $\Rightarrow \vec{E} \in$  à ce plan

Le plan  $(\vec{u}_r, \vec{u}_\theta)$  est un plan de symétrie pour la distribution entre les deux cylindres  $\Rightarrow \vec{E} \in$  à ce plan

Le champ  $\vec{E}$  appartient, donc, à l'intersection des deux plan, soit :  $\vec{u}_r$

Soit : 
$$\vec{E} = E(r) \vec{u}_r$$

3.1.3. Expression de  $E(r)$

Théorème de GAUSS : 
$$\oint_{(\Sigma)} \vec{E} \cdot d\vec{S} = \frac{q_{\text{intérieur à } (\Sigma)}}{\epsilon_0} = \frac{Q_a}{\epsilon_0}$$

$(\Sigma)$  surface de GAUSS : cylindre de section  $\pi r^2$  et de hauteur  $h$

$$\oint_{(\Sigma)} \vec{E} \cdot d\vec{S} = 2\pi r h E(r) \quad \text{et} \quad Q_a = 2\pi a h \rho_a^s \quad \Rightarrow \quad E(r) = \frac{\rho_a^s a}{\epsilon_0 r}$$

3.1.4. En  $r = a$

$$E_a = \frac{\rho_a^s}{\varepsilon_0}$$

3.1.5. La circulation du champ  $\vec{E}$  :

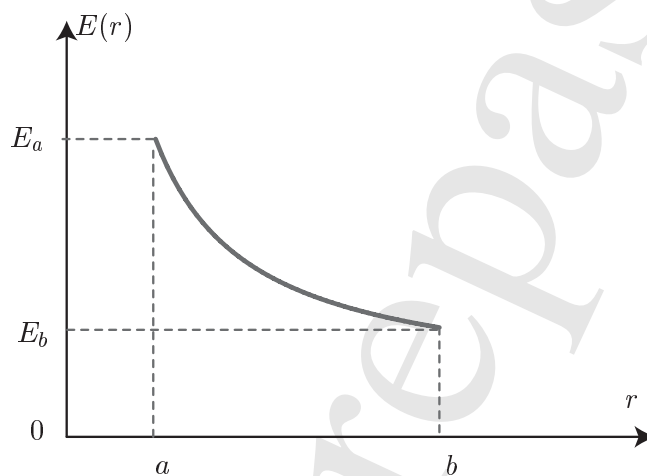
$$\int_{C_a}^{C_b} \vec{E} \cdot d\vec{r} = \int_a^b E(r) dr = V_a - V_b \Rightarrow \frac{\rho_a^s a}{\varepsilon_0} \ln\left(\frac{b}{a}\right) = V_a - V_b = V_{ab}$$

D'où :

$$\rho_a^s = \frac{\varepsilon_0 V_{ab}}{a \ln\left(\frac{b}{a}\right)}$$

3.1.6. Champ  $\vec{E}$

$$\vec{E} = \frac{\varepsilon_0 V_{ab}}{r \ln\left(\frac{b}{a}\right)} \vec{u}_r$$



3.1.7. En  $r = b$

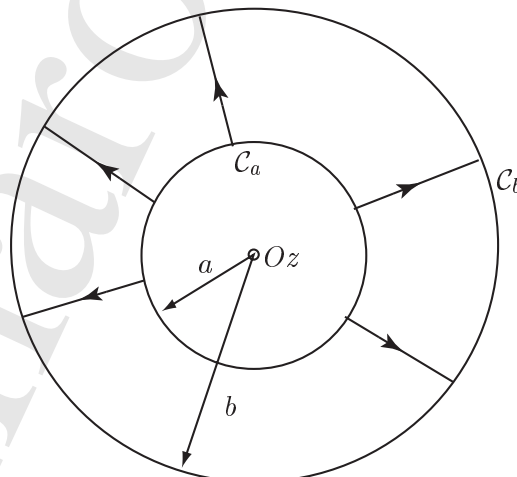
$$E_b = \frac{\varepsilon_0 V_{ab}}{b \ln\left(\frac{b}{a}\right)} = \frac{\rho_a^s a}{\varepsilon_0 b}$$

Les deux cylindres sont en influence totale  $\Rightarrow Q_a = -Q_b$  ou  $\rho_a^s a = \rho_b^s b$

Soit :

$$E_b = -\frac{\rho_b^s}{\varepsilon_0}$$

3.1.8.



Les lignes de courant sont des droites radiales.

### 3.1.9. Intensité du courant électrique $I_o$

$$I_o = \iint_{(C_h)} \vec{j} \cdot d\vec{S} \quad \text{avec :} \quad \vec{j} = \sigma \vec{E} = \frac{\sigma V_{ab}}{r \ln\left(\frac{b}{a}\right)} \vec{u}_r \quad \Rightarrow \quad \boxed{I_o = \frac{2\pi h \sigma V_{ab}}{\ln\left(\frac{b}{a}\right)}}$$

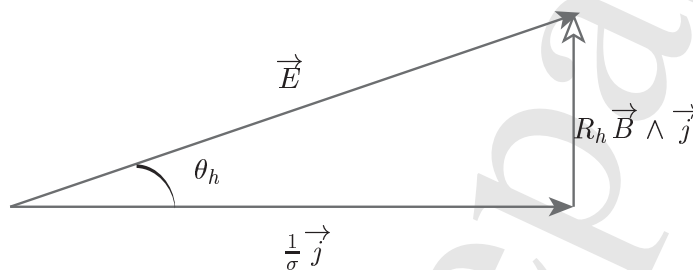
### 3.1.10. Résistance électrique $R_o$

$$R_o = \frac{V_a - V_b}{I_o} = \frac{V_{ab}}{I_o} \Rightarrow \quad \boxed{R_o = \frac{1}{2\pi h \sigma} \ln\left(\frac{b}{a}\right)}$$

## 3.2. Étude du milieu en présence d'un champ magnétique uniforme et permanent $\vec{B} = B \vec{u}_z$

### 3.2.1.

$$\vec{E} = \frac{1}{\sigma} \vec{j} + R_h \vec{B} \wedge \vec{j} \quad \text{Relation vectorielle de CHASLE}$$



$$E^2 + \frac{j^2}{\sigma^2} - 2 \frac{jE}{\sigma} \cos \theta_h = R_h B^2 j^2$$

### 3.2.2.

$$\boxed{\tan \theta_h = \sigma \frac{\|R_h \vec{B} \wedge \vec{j}\|}{\|\vec{j}\|} = \sigma R_h B}$$

### 3.2.3. Projection de l'équation vectorielle (2) dans la base cylindrique $(\vec{u}_r, \vec{u}_\theta, \vec{u}_z)$

$$\begin{pmatrix} E(r) \\ 0 \\ 0 \end{pmatrix} = \begin{pmatrix} j_r \\ j_\theta \\ j_z \end{pmatrix} + R_h B \begin{pmatrix} 0 \\ 0 \\ 1 \end{pmatrix} \wedge \begin{pmatrix} j_r \\ j_\theta \\ j_z \end{pmatrix} = \frac{1}{\sigma} \begin{pmatrix} j_r - \sigma R_h B j_\theta \\ j_\theta + \sigma R_h B j_r \\ j_z \end{pmatrix} \quad \text{ou} \quad \begin{cases} j_r = \sigma E(r) + \sigma R_h B j_\theta \\ j_\theta = -\sigma R_h B j_r \\ j_z = 0 \end{cases}$$

L'équation de la ligne de courant :  $\vec{j} \wedge d\vec{r} = \vec{0}$

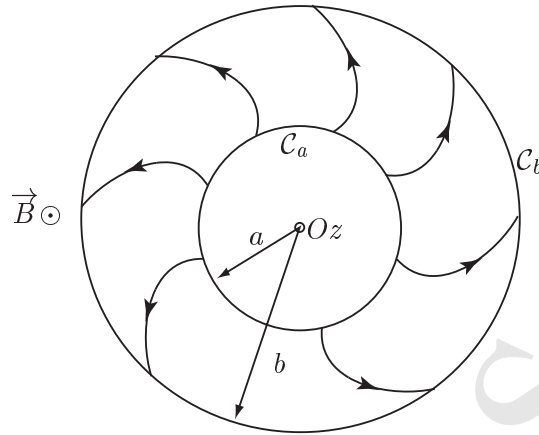
$$\text{donc : } r j_r d\theta = j_\theta dr \Rightarrow \frac{dr}{r} = \frac{j_r}{j_\theta} d\theta = -\frac{1}{R_h B \sigma} d\theta \Rightarrow \ln r(\theta) = -\frac{1}{R_h B \sigma} \theta + k$$

La ligne de courant passe par le point de coordonnées  $(r_o, \theta_o, z_o)$  donc :  $k = \ln r(\theta_o) + \frac{1}{R_h B \sigma} \theta_o$

$$\text{soit : } \boxed{r(\theta) = r_o \exp[f(\theta)]} \quad (4) \quad \text{avec} \quad \boxed{f(\theta) = \frac{1}{R_h B \sigma} (\theta_o - \theta)}$$

En absence du champ ( $\vec{B} = \vec{0}$ ),  $\vec{j} = j_r \vec{u}_r = \sigma E(r) \vec{u}_r$  et  $\boxed{r \rightarrow \infty}$  : les lignes de courant sont radiales.

**Commentaire :** En présence du champ  $\vec{B}$ , les lignes de courant sont des spirales logarithmiques avec le terme  $-1/R_h B \sigma$  est positif car  $R_h = -1/ne < 0$ . Les porteurs de charges parcourent, donc, une distance plus grande en présence du champ  $\vec{B}$  et les spirales sont d'autant plus (incurvées) que le champ  $\vec{B}$  est plus intense.



### 3.2.4. Équation (2)

$$\vec{E} = \frac{1}{\sigma} \vec{j} + R_h \vec{B} \wedge \vec{j}$$

#### 3.2.4.1. D (2) on a :

$$\sigma \vec{E} = \vec{j} + \sigma R_h \vec{B} \wedge \vec{j} \Rightarrow (\sigma E)^2 = j^2 + (\sigma R_h B j)^2 \text{ ou } j_o^2 = j^2 (1 + \sigma^2 B^2 R_h^2)$$

soit :

$$j = \frac{j_o}{\sqrt{1 + \sigma^2 B^2 R_h^2}}$$

#### 3.2.4.2. Expression de $j_r$

$$j_r = \vec{j} \cdot \vec{u}_r = j \cos \theta_h \text{ avec } \cos \theta_h = \frac{j}{\sigma E(r)} = \frac{j}{j_o} = \frac{1}{\sqrt{1 + \sigma^2 B^2 R_h^2}}$$

soit :

$$j_r = \frac{j_o}{1 + \sigma^2 B^2 R_h^2}$$

### 3.2.5. Intensité de courant $I$ traversant la section cylindrique $C_h$

#### 3.2.5.1.

$$I = \iint_{(C_h)} \vec{j} \cdot d\vec{S} = 2\pi r h j_r = \frac{2\pi r h j_o}{1 + \sigma^2 B^2 R_h^2} \Rightarrow I = \frac{I_o}{1 + \sigma^2 B^2 R_h^2}$$

#### 3.2.5.2. Résistance électrique $R$ en présence du champ magnétique $\vec{B}$ : Magnétorésistance

$$I = \frac{I_o}{1 + \sigma^2 B^2 R_h^2} = \frac{V_{ab}}{R_o (1 + \sigma^2 B^2 R_h^2)} = \frac{V_{ab}}{R}$$

soit :

$$R = R_o (1 + \sigma^2 B^2 R_h^2)$$

#### 3.2.5.3. Variation relative de résistance

$$\delta = \frac{R - R_o}{R_o} = R_h^2 B^2 \sigma^2$$

3.2.5.4. !!!!

3.2.5.5. Application numérique : (conducteur)

$$\delta = 1,76 \times 10^{-5}$$

La valeur de  $\delta$  est faible, cependant elle est mesurable !

3.2.5.6. Application numérique : (semi-conducteur)

$$\delta = 4,9 \times 10^{-1}$$

Dans le cas d'un semi-conducteur, l'effet de magnétorésistance est considérable comparé à un conducteur !